

مدل‌سازی سه‌بعدی ترمودینامیکی اثر آتش بر کامپوزیت‌های پایه پلیمری با در نظر گرفتن تغییر خواص حرارتی

محمود مهرداد شکریه^۱ و حمیدرضا عبدالوند^۲

آزمایشگاه تحقیقاتی مواد مركب، قطب علمی مکانیک جامدات تجربی و دینامیک، دانشکده مهندسی مکانیک، دانشگاه علم و صنعت ایران

(تاریخ دریافت: ۱۳۸۸/۰۲/۱۴؛ تاریخ پذیرش: ۱۳۸۸/۱۰/۱۲)

چکیده

در این مقاله، به استخراج روابط سه بعدی حاکم بر انتقال حرارت در کامپوزیت‌های پایه پلیمر در معرض آتش پرداخته شده است. پس از مدل‌سازی ریاضی، با در نظر گرفتن تغییر خواص فیزیکی کامپوزیت در حین حرارتدهی، حل معادلات به روش تفاضل محدود انجام شده است. مدلی نیمه تجربی نیز برای یافتن توزیع دما در نمونه‌های کامپوزیتی ارائه شده است. نتایج حاصل حاکی از تغییر شدید دما در راستای ضخامت است. گسترش دما در راستای الیاف راحت‌تر از گسترش در راستای عمود بر الیاف صورت می‌گیرد. آزمایش‌های آتش روی نمونه‌های شیشه-اپوکسی انجام شده و نتایج آن با مدل مقایسه شده است. نتایج آزمایش‌ها حاکی از گسترش راحت‌تر حرارت در راستای الیاف برای نمونه‌های ساخته شده از الیاف تکجهته است. گسترش مُد تورق ایجاد شده در نمونه‌های ساخته شده از الیاف تکجهته به صورت بیضوی و در نمونه‌های ساخته شده از الیاف بافتی شده به صورت دایره‌ای است.

واژه‌های کلیدی: کامپوزیت، ترمودینامیک، آتش، مدل سازی سه بعدی

Three-dimensional Thermodynamical Modeling of Fire Effect on Polymer Matrix Composites, Considering Variation of Thermal Properties

M. M. Shokrieh and H. R. Abdolvand

Composites Research Laboratory, Center of Excellence in Experimental Solid Mechanics and Dynamics, Mech. Eng. Dep't., Iran Univ. of Science and Tech.

ABSTRACT

In this article, three-dimensional temperature distribution in polymer matrix composites, exposed to fire is studied. Considering the variation of the thermal properties of composites during the heating process, equations are solved using a finite difference method. Also, strong variation of temperature through the thickness of composites is observed. More heat transfer in the longitudinal direction is observed than that of the transverse direction. A semi-empirical model for simulation of the distribution of temperature in composites is presented. Experiments are performed on glass/epoxy composites and the results are compared with the theoretical results. The morphology of delamination are elliptical and circular for unidirectional and woven laminates, respectively.

Keywords: Composites, Thermodynamics, Fire, Three-dimensional Simulation

۱- استاد (نویسنده پاسخگو): shokrieh@iust.ac.ir

۲- کارشناس ارشد

• Y É € f ØÄì } Z(•Å, Æ] €orøÄÄ] , Æ † Å i Z § Ä » | -1 »
 • { Æ f Æ • ÅcZv Z̄ y €iZfØ‡ • [] d § € 3 Æ EØÄ• Åt(½ ZzØ‡c{Y € ÄiÅÄ‡‡ EY€ }
 Á® i f‡ O Y Å] YÅÄS€cø Zf e ØZÅZ » { c Z Y ØA»Y|Zj|E} » Y € • Y € » } Ä -
 Á° Z Å‡ Z‡‡ Åš‡ € S Å® i f‡ Ô a Å ° ^ EÆf Æ • ÅÄb» Z{c • Y f Z - ÅjÅy Z‡ S{Z -
 .[7-8] | < 1 Z r€‡ X E € b † Y€ S Z - { ¾ i A r%fÅÅZ » Z Y Åg i Å v i
 • { c • Y f Z - Ål Y † JY, € " Zä u Z f » Æ † Z Å Ä € n Å » Z †. i z Y Åg i Å v i
 • Y Åg Y € N f S cø Z € ¼ Å, ZÅÅE • Å b » Z E Z Å€ Z Y F f Æ • ÅÄb» Z E Å † Åzv
 ¶ u o Y ad † Å | Å WÅ • ÅÅÅd ^ E e • Y € u Å v " x † Z Äa † Z EY€ Y. ÅjÅy ÅcÅ Z " f »
 Æ c Å Ä WÅY Å Y Å WÅY Å Y € » E Y EY-€ jY Å • Z Å Y € ½ i Å, Z E Y Å Ä Y E • Å b » Z -
 E ZÅZ ^ . € Ä Åf S cø Z SÄE Z » Z Né Y €] I E ZzÅÅ Å‡ EÅ½ M • Z I E Z Åf S cø Å •
 • Å { Z ZÅÅ ÅE f. g E • E S cø { a Y u • Y u • Z u
 Z E • Ål e/ÅY, € Ä] € Ä ½ E Z SÄE ZI » Z M
 . d † Å | Å WÅY E Y Åb » ÅZ » {

É | Å † O { Z E • Å M-Ø
 Ö Z Å Z i d Pve Å Y E f Æ • ÅÄb» Z f § •
 E Z Å E Y E S Y Å Z Y K Å E d † Å f S cø «
 w © Z Z e Y E • Z E Z Å • Z Å E E Z I Å P E , i §
 Å E, Å g Å { Z G Y Å k. Å ½ Z | J Å E }
 | f S cø Z d E Y Å b Å Z e • M Z Z f E Å cø • Y € u ® E c • Y f Z - Åf Åy Å † • E Å
 • Z ^ Y E ½ Z Å Y € Z S Ä Y Z • Z d E Y Y Å Z
 Å • Y Å Y Å Y E Z E f « d Å Y • Z Å Å ° m {
 • { Å l f S cø Z E e Y E f • Å E u m d S O Z -
 ¾] € Å | Å f y E Z f A - Å Z Å ½ E Ä n i f
 Å ° \$ z , Z i d Å Z Å Z E Y Y P Y Å E » | E | ^ e
 • { | z Å » ... Å ^ V M { , Å { Z } E Z Å E ~ a } Å S i Y • Z Å Å E E ½ Å E | z { Å V M Y • Y
 E € E ~ Å Z Å , Z i Z E Z Å E • Å b V Z Z i ^]
 E , y Å Z Å Z Z O S T f € » Y E d Y Y - Z i ^]
 • { Z ^ V Z M € f Ø m Å f n Å Z Å - ¾ Å Y
 Ö Z] S Å • Y Å Z Å Z E Z C E S { Å E ¾ Å { Z »
 Å » Y Z K Å Å Z { Z Z i V • Z d Å Å Z Å ; Z Å €]
 E Z f Å - Å E E ~ Å l Å , Z i d Å E % E S Z E -
 ½ M • Å d E Y Z Å Z Z Å Z d Y € Å f S S Z E Y , S Y
 E Z Å Z Z Y M Å l d † Å Z Z E Y E ¾ Å] Y €]

- 1- Gibson
- 2- Henderson
- 3- Wiecek
- 4- McManus
- 5- Springer
- 6- Griffis

- {{ • ÄM | ½ ÈÄ g Ä ÄGGA¹ S È Z¹ ZorM Y Á| f È x Ä y Y | ¾ È € ÄQÄ | Z {Ä | Ä € i y }
¾ ÈÉ Ä€ Ä | i Z TGA Y S È ZÄ n M | °
, ¾ i A.d ¼ Ä | Ä { X ZÄE Z+Ä Ä . Z Ä »
- Z Z] ÄÅ x Y • ZÄÄ | i . ÄZÉ ¾ Ä Ä , Zn e : 0 È ÄY { YÉ M ÅÉ Z¹ È] È ZT] Y { € }

$$\frac{m_r}{t} = \frac{m_{gx}}{wx} = \frac{wm_{gy}}{y} = \frac{m_{gz}^a}{vz} = \frac{w}{t} = \frac{m_g}{w} = \frac{wm_c}{t} \quad (5)$$

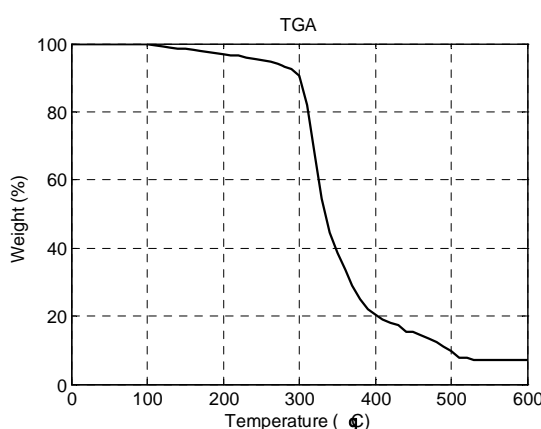
É { | YY | k Y € z ÄTÉYÄ oe uÄOÄ » j ÅZ ¼ Å
TGA S È Z® M (5) Ä . { Zq x ¼ f {{ Ä m Ä »
Ä . { Ä f » yd ¼ f {{ Ä m Ä } Z X È³ » Z n ï Y
€ i l p Ä € Ä t Ä | Ä E » E § € Y p Ä A A (5)
Ä Ad f È È Z Z f Ä Ä ^ z Å È Z ¾ m O §
† È € e Z Z Ä € l y Y € p f Ä ¼ f { € y M E e
® (5) Ä . { Z « M Ä f M Z M | °
. d f Ä Ä . Ä AEÄ Ä . { Z »

Á| f È x Ä y Y | ¾ È € ÄQÄ | Z {Ä | Ä € i y }
| ÄÈ » w f È € e Z È x È | ‘Z ^ -½ Z] Z », ¼ Å
È f € Q Y Z È] f] X È Y È] S E T È Y []
: 0 È ÄY { È Z] Ä Ä m Z d è Ä Y e

$$\begin{array}{ccccccccc} E_{in} & E_{out} & E_{gen} & E_{st} & \frac{w}{w} & E_{cond} & E_{conv} & E_{gen} & (1) \\ \frac{m_r}{w} & 0 & & & & & & & \\ \end{array}$$

É f È] Ä Ä | ¼ € • È f € gen Y, Ä i Ä Ä Ä k • Z y
É f € s i ¾ È È e • Ä È u i e Ä i Ä {Ä k
'E_{cond} (Ä i) Z u € ½ Z], Ä i Ä Ä Ä € i y }
'E_{conv} Ä, È È Z m] Z f u - E f € Y € i l o e
d f Y È f § € ¼ Y Å f u - € i Y È f € q Y € i l o e
: Z d f €] Ä € Ä (È f € Y € i l o e

$$\frac{E}{t} = \frac{m_s C_{ps}}{wt} + \frac{m_g C_{pg}}{wt} - T C_{ps} \frac{w_s}{t} + C_{pg} \frac{w_g \dot{s}}{t}, \quad (2)$$



- a i - v/e Ä | i Z TGA Y S È ZÄ n M | °
. (4) Ä . { Ä] Y K Ä i z f È Y È] - Ä v Ä Ä Ä E]

¹ € m_s (Ä i) Z u € ½ Z t » ; © Ä Ä S] Ä {Ä -
d i S € o_{ps} (¹ € ³ Ä) i u €] È f È • Ä Ä g Ä ¼ Ä
Ä i Ä Z T c ((J/kg C) ^ u € Ä i Ä , Ä Z » € ³
€ i o Y Ä | { Y È M Ä b Z m_g (¾ È Ä , u €]
È È Z d i S € p_{pg} Ä (¹ € ³ Ä) i u € ¼ È Ä È , n e
¹ € m d f M / kg C ^ u € Ä | { Y È M Ä Ä Z È Ä
. d f ¼ È Ä Y Z i . € m Ä ¼ Z f] È € È • Ä Ä b » Ä Z ¼ Ä
€ o e Y Z i . Ä Y € µ u Ä - Ä o Z S]
: 0 È • Y È Z » Y | È È Z o Y € u

$$m_s \frac{w_s}{w} = m_fiber \frac{w_s}{w} = m_{resin} \frac{w_s}{w}, \quad \ddot{Y} \quad (3)$$

Z/d / (Y € ³ Ä V , i u) € ¾ È ¹ € m p , ½ M Ä -
: [9] 0 È • Y È Ä È È Y È € Ä M Ä ¼ Z €] • Z °]

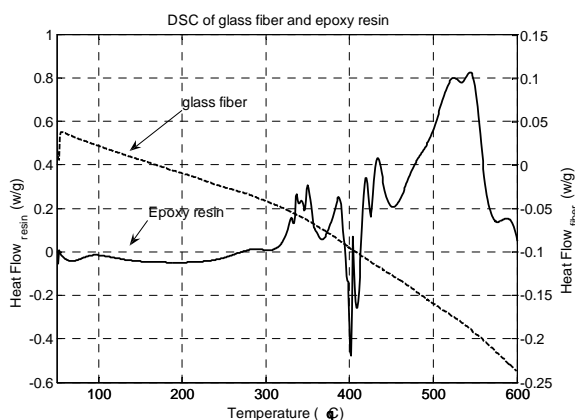
$$\text{a) } \frac{1}{m_{r0}} \frac{w_s}{w} = A \frac{m_r - m_{final}}{m_{r0}}^{a^n} \exp \left(\frac{-E_a}{RT} \right), \quad (4)^{\frac{1}{a}}$$

$$\text{b) } m_r = m_{r0} \cdot t \cdot \frac{w_s}{w}, \quad u \sim$$

Ä | Ä f y Ä d Ä T » Z d Ä ¼ È ¹ € m_{final}
È Ä C (• Y € Ä È Y € ¾ È ¹ € m i m_{r0} Ä | Z]
Z ½ Y Ä (4) Ä ~] • Y { Ä m Ä Z A Z A Y , d f Y

$$m_{gi} = \frac{U_p}{P} \frac{w}{w_j}, \quad (6)$$

$$p = \frac{g RT}{M} = \frac{p}{x_j} = \frac{U_g R w T}{M w x_j}, \quad (6)$$



3/ E&A | 1 Z DSQŠ Š ZÄ n M(8)¶
a | n v e

, { A' € \$k_{yy} k_{zz} A¥ Z Ž f f Y A WZ i . Y
: 0 E • Y {

$$E_{\text{cond}} = k_{xx} \frac{\frac{2T}{x^2} - 2k_{yy} \frac{w^2 T}{wy^2}}{W}$$

É ZÄE ŒÄYY Å ¼ Å { Z " f f AY Ä E O | A 3 Y
| i • A E Y C E] ZÄ], Y A Z I f A Ä f A en
É Z f A Y E » Z Z A A E S E f E Y f Z - f e Y
E A , J E Z % Z ^ C E • f E Z A • A Z f f Z I . Y
(10) Å . { Z Y A { Z Z f E Y » A A V E Y O f A Z u

. { A E A ^ f Z v Y f Z + E E E { Z - » d i S E _ pr A¥ Z I E E Z d i S E _ pf , ½ M A -

$$\begin{matrix} k_{11} & \frac{1}{2} & \frac{a^2}{m^2} & n^2 & 0^o \\ k_{22} & \frac{1}{2} & \frac{a^2}{m^2} & m^2 & 0^o \\ k_{12} & \frac{3}{4} & \frac{mn}{m^2} & mn & 0^o \\ k_{33} & \frac{1}{2} & 0 & 0 & 1 \frac{1}{4} \end{matrix} \quad (10)$$

a] Z ~; Án sin i m cos i , © AAS] •

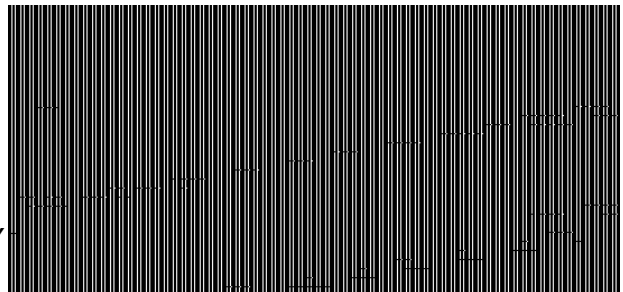
$$d f k Y_3 k_{23} 0 \quad \ddot{A} \circ \ddot{A} \ddot{M} m \ddot{A} \ddot{P} f Y \quad : | \ddot{E} M \{ E \ddot{E} \cdot A \ddot{A} (8) \quad \ddot{A} . { Z }$$

$$E_{\text{cond}} = k_{11} \frac{\frac{\hat{w}T}{w_1^2} - k_{22} \frac{\hat{w}T}{w_2^2} - 2k_{12} \frac{\hat{w}T}{w_1 w_2} - k_{33} \frac{\hat{w}T}{w_3^2}}{W} \quad (11)$$

• { A | { Y E M A % Z Z - f A E E O | A E q S € ¼ Å
. { A E » { Z n, A M Y | i . A M c Y • A Z f y A E t i Y

: [3] 0 E • % E Y €] Z A]

c Z f z » A v E Z f f Y g Z f f A j € E M A -
¶ - € ' Z g d i ¼ d f Y ¶ ° a] Z (12,3
. d f YM½ | • Z Ä Ä E O % A g A Y | { Y • A P
½ Z Y E j E • { A | { Y E M A E Z E ~ ½ Y A j | Z
¾ E E E E ~ la f A E Z A Z n o Y A E »
, i j . { { E 3 Z » E], Z E i ¾ Y E | A E - E i i o e
d i ¼ ¾ E A f X | { Y E M A E Z E Z d / n A , i f
. | (Z] Z Z Z Z Z



• Z E » A A V Y E Z I f E v o Z • f (2) ¶
. A , X T u p { A | A f S € 3

• A d f X E O f A q d E S Q) A . { Z { O ps
: { { E 3 k Y € E f A Y] Y •
E A , J E Z % Z ^ C E • f E Z A • A Z f f Z I . Y
C ps C pf C pr , (7)

k Y € Z D S C Y S E Z Z A M d f Y % E E E Z » € 3
¾ E d f Z d E S Q) Z E A v A i * . | { E E
a | n v E E M | A { Z { f A Z A E Y E { Z - »
• Z . Z d E Y f A . d f X | A { Y Z C O T | {
: [10] { { E 3 k Y € E f A Y] Y • E O | A q

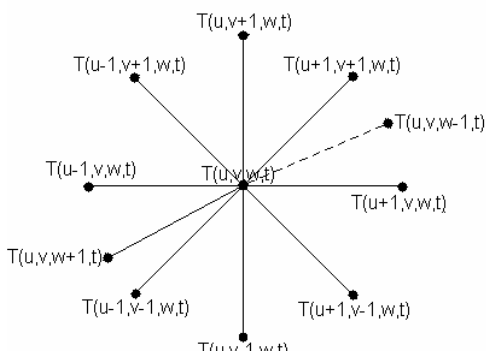
$$E_{\text{cond,in}} = E_{\text{cond,out}} \sum_i \frac{w_i}{x_i} \sum_j k_{ij} \frac{\bar{w}_j}{w x_j}, \quad (8)$$

Z A d f X E O f A q V E M f A E k ij , ½ M A -
E Z f f Y M Z p A E e i l o z e f E Z A • A N n x e
E Z f f o Y E E Z A y A x € p ^ ~ A 3 A Z A

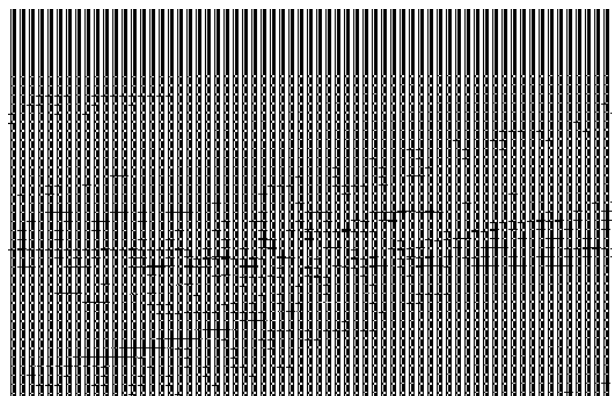
Differential Scanning Calorimetry

Ä E 3 Ä { Ä E »Ä oe (2) »Ä . { Ä Ä »mÄ]e
 ½ Z ½ Z ½ { Ä € 0 Ä JÄ f ^ JT(u,v,w,t - 1)
 ¾ E Y f ^ 4 MÄ d f tY ½ Z ¾ Ä € P Ä - 1
 . | Ä E »½ Z 0 E z Z ¾ Y Z M E 3

Ä ½ Z P u Z Y e E Y € E # E • € E Y u Z M Y E
 - E Y. € Z ¾ Y ¼ E Ä R E { E Ä Z ' 0 E E Z € M
 Ä I Ä E YY| € Ä f S € E S 5 ¶ ° c • Ä Ä E • € »
 • Z E Z Z 0 E Ä d f Y • Ä ¾ E I JÄ , X P u
 . | E] ¾ E 2 9 8 Z E] E Ä C] Y | E U E Y Y E S] Y



. Z ¾ E M' f ^ J Y A M Z M E 3 Z »(4) Q ° (



. Ä , X P u E Y A E] P Z ¾ Y E E Y (5) Q ° (

• € P f f C E ¶ » Z Ä /C Ä S • € E Y u Z M Y E]
 q • Y | H A { Z f J A Y { E ° ½ Z A E 3 d f Y
 E Ä • Z Ä Z E e • Y € Q & Z 5/4 A • { Ä | Ä W Y • Y

Ä { Z " € E Ä] Y Y C O { Z ½ } € 0 n u 0 - E Y €]
 E Z f f A Y f €] d . O u , v , w ½ M { Ä - 0 | Ä E - »
 : | Q • C Y Z { f z »

$$\begin{aligned}
 & G T_{u,v,w}^t T_{u,1,v,w}^t T_{u,1,v,w}^t, \\
 & \text{or } G T_{u,v,w}^t T_{u,1,v,w}^t T_{u,1,v,w}^t, \\
 & G T_{u,v,w}^t T_{u,1,v,w}^t 2 T_{u,v,w}^t T_{u,1,v,w}^t, \\
 & \frac{G T_{u,v,w}^t}{w^2} 1 T^a \\
 & \frac{\sqrt{2}}{\sqrt{w}} \frac{G T_{u,v,w}^t}{w^2} T^a
 \end{aligned} \tag{21}$$

• Ä ~ Ä € E M] E Z Y Ä - M - € S E 3 Y
 Ä E { Ä E Z Z { • A Z E N Z A Ä Ä f ^ J Y Z Ä - ° E
 ½ { € Z Z] i 1/2) | Z P ^ E { Z Z E Z Ä Ä E 3
 : d I Ä ½ E M 0 Ä . { Z { 2 0 - 2 1) -] Y A •

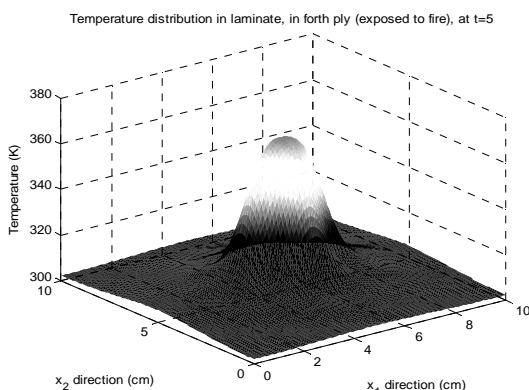
• (22)

$$\begin{aligned}
 & \frac{f_3^{t+1}}{t} \frac{k_{11}^{t+1} u^2}{2 u^2} V \frac{k_{22}^{t+1} G_v^2}{2' v^2} V \frac{k_{33}^{t+1} w^2}{2 w^2} V^2 G \\
 & C_{pg}^{t+1} m_{gx} V \frac{f_1 \omega}{4 u} \frac{f_2 G_\alpha}{4 v} \frac{t+1 \omega}{4 w} G^2 D G \\
 & \frac{k_{12}^{t+1} f}{4 u v} T^{t+1} V \frac{s}{c} \frac{m_r^{t+1} m_t^t}{t} Q C_{ps,av} \frac{T_{u,v,w}^{t+1} T_{u,v,w}^t}{2} S S @D G \\
 & m_g^{t+1} m_g^t C_{pg,av} \frac{T_{u,v,w}^{t+1} T_{u,v,w}^t}{2} S S @D G \\
 & \frac{f_3^t}{t} \frac{k_{11}^{t+2} u^2}{2 u^2} V \frac{k_{22}^{t+2} G_v^2}{2' v^2} V \frac{k_{33}^{t+2} w^2}{2 w^2} V^2 G \\
 & C_{pg}^t m_{gx} V \frac{f_1 \omega}{4 u} \frac{f_2 G_\alpha}{4 v} \frac{t+2 \omega}{4 w} G^2 A_{u,v,w} \frac{k_{12}^t f}{4 u v} T_D^t V G
 \end{aligned}$$

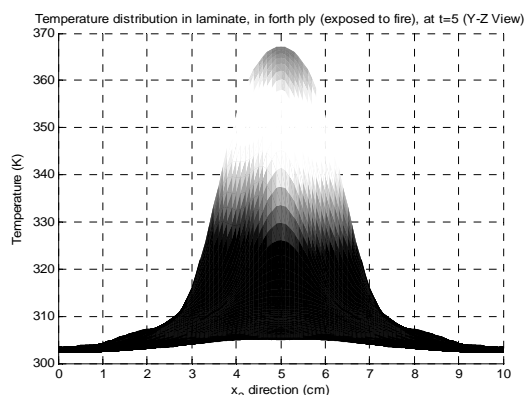
: 0 E • % M A -

$$\begin{aligned}
 & f_1 \cos T \sin D, T \\
 & f_2 \cos D \sin , T T \\
 & f_3 m_s C_{ps} m_g C_{pg}, \\
 & f(T^t) T_{u,1,v,1,w}^t T_{u,1,v,1,w}^t \\
 & \quad T_{u,1,v,1,w}^t T_{u,1,v,1,w}^t
 \end{aligned} \tag{23}$$

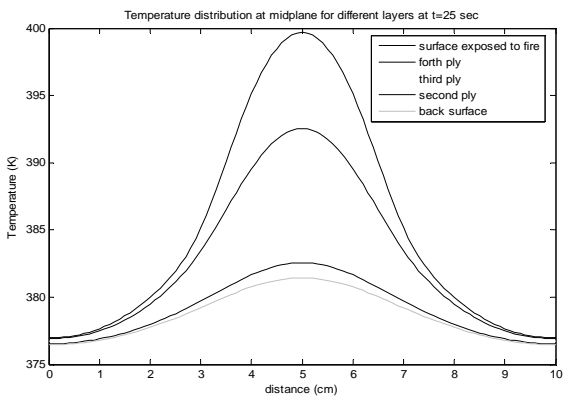
¾ Ì À r d4tÅy È 382 Z f] M ÁÄYÉ Ö| c Æ]
 ¾ IZ »(Ô f y2YY ,ß Åc{• Y E NÀ Y2 | • Åz]
 .|] È ß Å Z Á ZéNzæ Õ



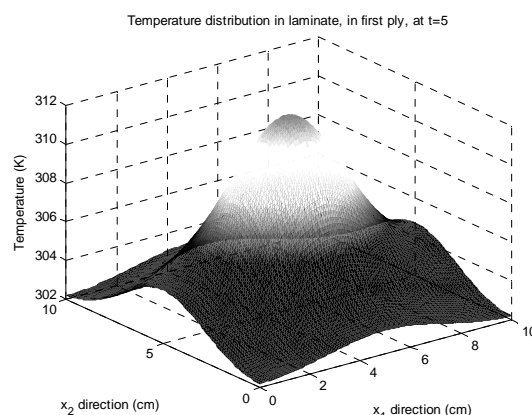
• (Š e MÁ ZñEÓ Z ÄEÖQZ »ž E (A) eI °
 .° n ÅAà ð Zi



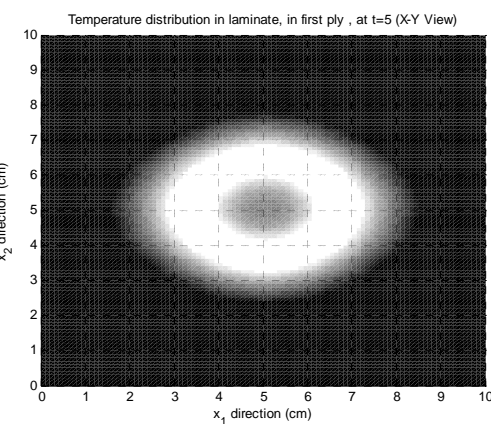
• (Š e MÁ ZñEÓ Z ÄEÖQZ »ž E (A) eI °
 .(y-z È ð %n ÅAà Z i



° n ÅAà ð I ÄI ð [Äi ð A ñA[Z »ž E (A) eI °
 .|, f z È ZñEÖYÄ]



.° n ÅAà ð IÄYÉ ÖZ »ž E (A) eI °



.(x-y È ð %n ÅAà ð IÄYÉ ÖZ »ž E (A) eI °

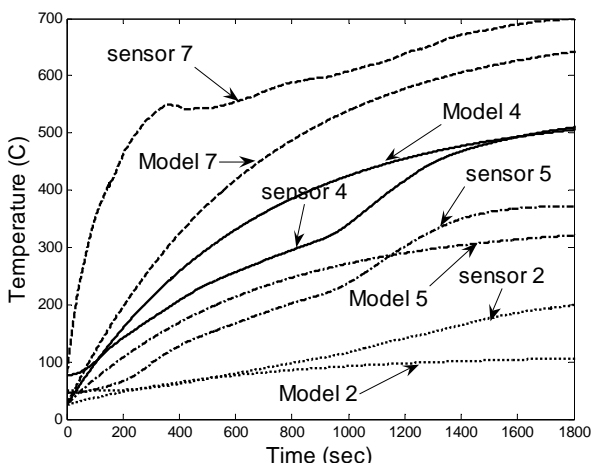
• Š I]¥ Z NÉ Z f þYZ»š È Y,{ ÅEY »Ä oe u Ô »
 Y€ %YBÝ YB f ¥Z I€YÅ VÉ Z f þYZ»š È Y, § Y
 É Z f þYZ»š È e • R È M I€½ { Å J OÄijç VÄ e
 .{ Yd^ ^ ¥Z I€YÅ VÉ Z f þYZ»š È Y, . Y
 • Å ZñEÓ Z ÄEÖQZ »ž E (A) eI °
 €] ÅCÉ, È {Z »ž Y |Ä |. GÈTÅ | Å { G Å MM
 • {Z »ž {jÅMÉ | Š È Y€ § JÄzd f ¥Z È 367 Z]
 • {Z »ž {E • Åe) Å € È Z · ñ | Š e MÁ ZñEÓ
 Š Å ZñEØd f Å | Å { %Z ØOT { • {, I Ä È DÉ Y
 Ä È DÉ {Y È ÖÄ Åe Å È Å È Å { Y, € È Z » {
 .d f Y • Z ÅE Å È ZñE ØI]

½ Z È YÄEØ Ö+Å Å {Z »ž {E • Å eI °
 • Z oÅf ;ÅY - Z ñA Å | Å { Y Z ØEA; Åd ^ I]
 ® È {Å, Å EØO {Å ð ZñE ØY2 | • Åz, I Å È »
 ,¾ Ì À r 14 Å È S È YZ S Å ð Å V È Å]½ |
 ¾ È Åoo- €] Š e MÁ ZñEØQZ »Å È . Z u • {

.d f Ä | Ä { 8ÅmÅ | mÄ i Ä kÅ
 Ä i Ä Y(27) Ä . { ZE Y€ E : (2) pÅ | m
 .CP10

C ₁	C ₂	C ₃	C ₄	C ₅
268400	0/0015	1066014	1066014	793473

,\ E Y €“ E YY Ä | »dM | € E (Ä) Å m Å] e
 24 ¶ ° • { 2 Å4 5 7 E Z Å • Å { Å * Y , i »
 µ | »{ Å E » Ä oe u Å Ä j Å Z . d Å Ä | Ä ^ E Z - »
 I E Z E . Å n E Z . Å | 1/4 Å E E Å | Ä W Y • Y
 Å | d M | E Z ~ Y . j Å E » Z S E Z • P N u
 21/35 €] Y r Å A ^ Å p | » ¶ • Z u E Z E Y €]
 E Y , E] 29/33 €] M E] Å { Å ^ E Y , E] {
 Å o f " Å Å ^ E Y , E] 1649 µ | Å 1 • Z Å q Å f
 | • 227 Z €] M E] E Y Å] • 2346 µ | »
 14/03 E Z) E | Ä M u Z Å ^ E Z { Å } (E]
 . d f M Å t k Z • • {

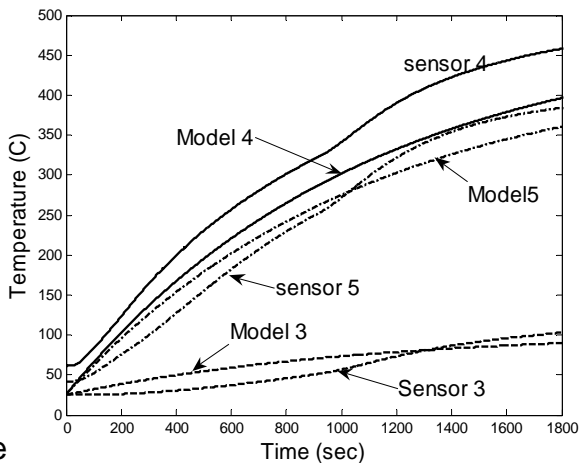


E Y S E Z Å u M Y • Z u E Z E (24) ¶ °
 .CP10 Ä i Ä ¼ i

ZG \ E Y E Y Å] d M |] E Z Å { € Z]
 Ä i Ä k Å Z Å p Å] E Z Å Y Å { Z Z Å C₅
 CP5 Ä i Å Z Å i 1/4 E Y Å Y d M | CP10
 ¾ E p] Å E f • € Q Å f | d v • ½ Y , l E Y Å e
 E Y S E Z • M Z u E Z f Å { f Z Y Å] e € e
 • Å { Z Z Å Y Å k Å Z » E Å Å P 5 Ä i Ä ¼ i

Ä i Ä E » Ä | Å Z O E p Å | Ä W Å m Å] e
 \ E Y €“ E Z Y E Å 4 | E Z Å • Å E Z Y
 ½ { • Å M] p a d f Ä | Ä { Z (27) Å . { Z »
 Ä . { Z { Z } Ä g M - Ä P Z Å . { Z ½ Å E Y €“
 (C₂) Å | i Z U Å Z Å Z Å E Z Y E • E (27) a
 • Z Å g E Y O E ½ { Å Å E E S (27) Å . { Z »
 I E Z Å f g Y ½ M Y J A | € - Å ^ Å q Å E q
 C₂ 9.3026e4 Å n i Å | Å f S Å Z Å | Z | »
 • Å | »dM |] E Z Å f Å E E M f |]
 E Y €, f z E Z Å Z • { μ | » Å - E E { Å | »
 • Å | »dM | E E Z Å Å Z 305 E Z Å • Å ^ Å f
 Ä - Å j Å Z . d Å Ä | Å { 2 Å M ° • { S E Z » • M
 ¶ Å S z] • { Å | € - Å ° O E q E Å E Å oe u Å »
 I E Z Å Å f . Å M E E Z Å Å Z Å M Å Å q Å {
 d f | E Z ~ Y . j | Å n S Å Z Å p | M ¶ • Z u
 E Y , E] 14/45 €] M E Å o n Å Å ^ E Y Å] » M
 • Å ^ Å E Y , E] 47/54 €] M E Å Å f Å ^ Å f
 Å p | » E Y Å] • 1645 €] M E Å Å f Z E q
 I E Z Å Å f E Z (Å d f M • 2615 Z €] S E Z » • M
 | Å E » ½ Z Z E Z • 17/17 Å E “ Z E u p ¶ • Z u
 . d f M | » Z E Y Å Z Å S E Z I E Z Å Å E Z - »

\ E Y €“ E Z Y E Å | Y € M Å Y E Z] e
 ¶ • Z u E Z Å Z Å Z Å P 10 E Y (27) Å . { Z »
 E Y Å] d M |] E Y , E Å E G L Ä i Ä Y Å]



E Y S E Z Å u M Y • Z u E Z E (23) ¶ °
 .GL Ä i Ä ¼ i

- Graphite/Epoxy Composites", *J. Composite Mater.*, Vol. 21, No. 2, pp. 129-139, 1987.
7. Ha, S.K. and Springer, G.S., "Non-linear Mechanical Properties of Thermoset Matrix Composite at Elevated Temperatures", *J. Composite Mater.*, Vol. 23, No. 11, pp. 1130-1158, 1989.
8. Ha, S.K. and Springer, G.S., "Time Dependent Behavior of Laminated Composites at Elevated Temperatures", *J. Composite Mater.*, Vol. 23, No. 11, pp. 1159-1197, 1989.
9. Looyeh, M.R.E. and Bettess, P. "A Finite Element Model for the Fire-Performance of GRP Panels Including Variable Thermal Properties", *Finite Elements in Analysis and Design*, Vol. 30, No. 4, pp. 313-324, 1998.
10. Tsai, W.S. and Hahn, H.T., "Introduction to Composite materials.", Technomic Publishing Co., Inc. 1980.
11. Jong, K.P. and Tae, J.K., "Thermal and Ablative Properties of Low Temperature Carbon Fiber-Phenol Formaldehyde Resin Composites", *Carbon*, Vol. 40, No. 12, pp. 2125-2134, 2002.
12. Kang, T.J., Shin, S.J., Jung, K., and Park, J.K., "Mechanical, Thermal and Ablative Properties of Interply Continuous/ Spun Hybrid Carbon Composites", *Carbon*, Vol. 44, No. 5, pp. 833-839, 2006.
13. Bahramian, A.R., Kokabi, M., Navid Famili, M.H., and Beheshty, M.H., "Ablation and Thermal Degradation Behaviour of a Composite Based on Resol Type Phenolic Resin: Process Modeling and Experimental", *J. Polymer*, Vol. 47, No. 10, pp. 3661-3673, 2006.
14. Bahramian, A.R., Kokabi, M., Beheshty, M.H., and Navid Famili, M.H., "Thermal Degradation Process of Resol Type Phenolic Matrix/Kaolinite Layered Silicate Nanocomposite", *Iranian Polymer J.*, Vol. 16, No. 6, pp. 375-387, 2007.
15. Mouritz, A.P., Mathys, Z., and Gibson, A.G., "Heat Release of Polymer Composite in Fire", *Composites, Part A: Appl. Science and Manufacturing*, Vol. 37, No. 7, pp. 1040-1054, 2006.
16. Mouritz, A.P., "Simple Models for Determining the Mechanical Properties of Burnt FRP Composites", *Materials Science & Engineering A*, Vol. 359, No. 1-2, pp. 237-246, 2003